

УДК 616.133.33-007.64-089

ББК 56.13

К 85

ОГЛАВЛЕНИЕ

Предисловие.	4
<i>Глава I. Хирургические доступы к внутричерепным аневризмам</i>	5
<i>Глава II. Микрохирургическая анатомия контралатерального птерионального доступа к аневризмам переднего отдела вилли-зиева круга.</i>	38
Микрохирургическая анатомия переднего отдела вилли-зиева круга	38
Микрохирургическая анатомия вен конвекситальной и базальной поверхности лобной и височной долей головного мозга.	61
Микрохирургическая анатомия параселлярных и межножковой субарахноидальных цистерн	67
Поэтапная микрохирургическая анатомия контралатерального птерионального доступа	78
<i>Глава III. Хирургия внутричерепных аневризм контралатеральным доступом</i>	127
Литература.	171

В. В. Крылов, В. В. Ткачев, Г. Ф. Добровольский

К 85 Контралатеральная хирургия аневризм головного мозга — М.: Медицина, 2002. — 192 с.: ил. ISBN 5-225-04134-5

В монографии описаны различные оперативные доступы, применяемые в хирургии аневризм головного мозга. Представлена микрохирургическая анатомия переднего отдела артериального круга большого мозга и этапы микрохирургии аневризм. Особое внимание уделено использованию контралатерального доступа к аневризмам сосудов основания головного мозга — одному из новых направлений в микронейрохирургии.

Предназначена для нейрохирургов, микрохирургов, анатомов.

ISBN 5-225-04134-5

ББК 56.13

© В. В. Крылов, В. В. Ткачев,
Г. Ф. Добровольский, 2002

Все права авторов защищены. Ни одна часть этого издания не может быть занесена в память компьютера либо воспроизведена любым способом без предварительного письменного разрешения издателя.

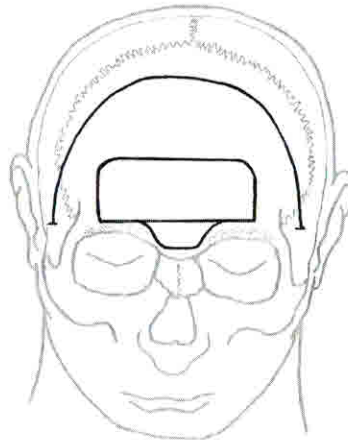


Рис. 7. Краниотомия для базального межполушарного доступа [по N. Yasui и соавт.(380)].

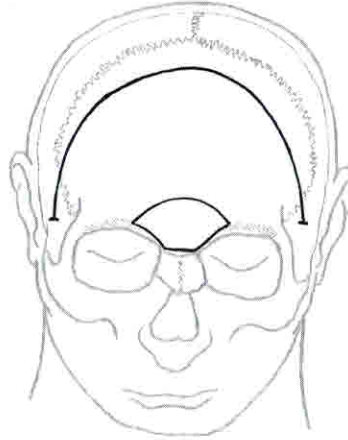


Рис. 8. Краниотомия для трансфронтосинусового доступа [из(6)].

межполушарном доступе значительно снижается частота по-слеоперационной анонсии.

Трансфронтосинусовый доступ к структурам переднего от-дела основания черепа предложен в 1990 г. J. A. Persing [262]. Выполнение доступа предполагает (после предварительного рентгенологического определения границ пазухи) костно-пла-стическую трепанацию передней стенки лобной пазухи осциллирующей пилой с последующим удалением слизистой оболочки передней стенки пазухи. Задняя стенка пазухи и пету-шинный гребень резецируются. Проводится так называемая "квализация пазухи". После этого осуществляется экстра-или трансдуральный базальный межполушарный подход к ос-нованию передней черепной ямки (рис. 8).

В 1994 г. K. Fujitsu и соавт. [111] разработали оригиналь-ную методику базального трансфронтосинусового межполу-шарного межфальксового подхода к аневризмам ПСА. Особенность метода заключается в нестандартном доступе в меж-полушарную щель, который осуществлялся через туннель, об-разованный путем разделения фалькса на две пластинки. Эта техника позволяет сохранить обонятельные нервы, мости-ковые вены и предотвращает развитие послеоперационного кон-тузионного кровоизлияния и анонсии.

В хирургии кавернозного отдела ВСА может быть также использован передний трансмаксиллярный доступ к ка-вернозному синусу, разработанный на анатомическом мате-риале W. T. Couldwell и соавт. [56].

ПЕРЕДНЕБОКОВЫЕ ДОСТУПЫ

I. Традиционные переднебоковые доступы

A. Фронтолатеральные доступы

Фронтолатеральные доступы получили наибольшее рас-пространение в хирургии внутричерепных аневризм. Принято считать, что впервые лобно-височный доступ для лечения больного с большой аневризмой ПСА применил W. E. Dandy в 1942 г. В последующем было предложено большое число ме-тодик фронтолатерального подхода. Модификации в основ-ном касались техники выполнения краниотомии (рис. 9). В зависи-мости от локализации трепанационного окна фронтола-теральные доступы подразделяются на:

1. собственно фронтолатеральные — костный лоскут включает в себя участки передней и боковой (височной) по-верхностей чешуи лобной кости;
2. фронтолатеральные;
3. сphenоидальные;
4. фронтолатерально-сphenоидальные;
5. сphenотемпоральные (рис. 10).

Широкое использование фронтолатеральных доступов в хирургии аневризм объясняется тем, что с их помощью воз-можно успешное клипирование большинства аневризм вилли-зиева многоугольника: ПМА — ПСА [32, 50, 93, 123, 124, 176, 189, 264, 277, 292, 377, 378, 359, 366], ВСА [126, 145, 175, 206, 207, 288, 307, 321, 327, 362, 373, 375, 379], СМА [33, 49, 81, 129, 205, 347], БА (96, 290, 324, 368, 374].

После выполнения краниотомии выделение сосудисто-нервных образований мозга может осуществляться посредст-вом различных микрохирургических подходов:

субфронтального [79];

фронтобазального или транссильвиевого [36, 96, 155, 363, 374 и др.]. Данная методика была разработана M. G. Yasargil и полу-чила наибольшее признание в хирургии аневризм благо-даря ряду достоинств:

- подход является универсальным, с его помощью воз-можно успешное клипирование всех аневризм вилли-зиева многоугольника;
- при наличии у больного множественных аневризм воз-можно клипировать все аневризмы из одного трепана-ционного окна в ходе одной операции;
- имеется возможность широкой ревизии цистерн основа-ния мозга;
- методика позволяет достичь значительной релаксации мозга и снижения ретракционного давления;
- позволяет максимально санировать базальные цистерны

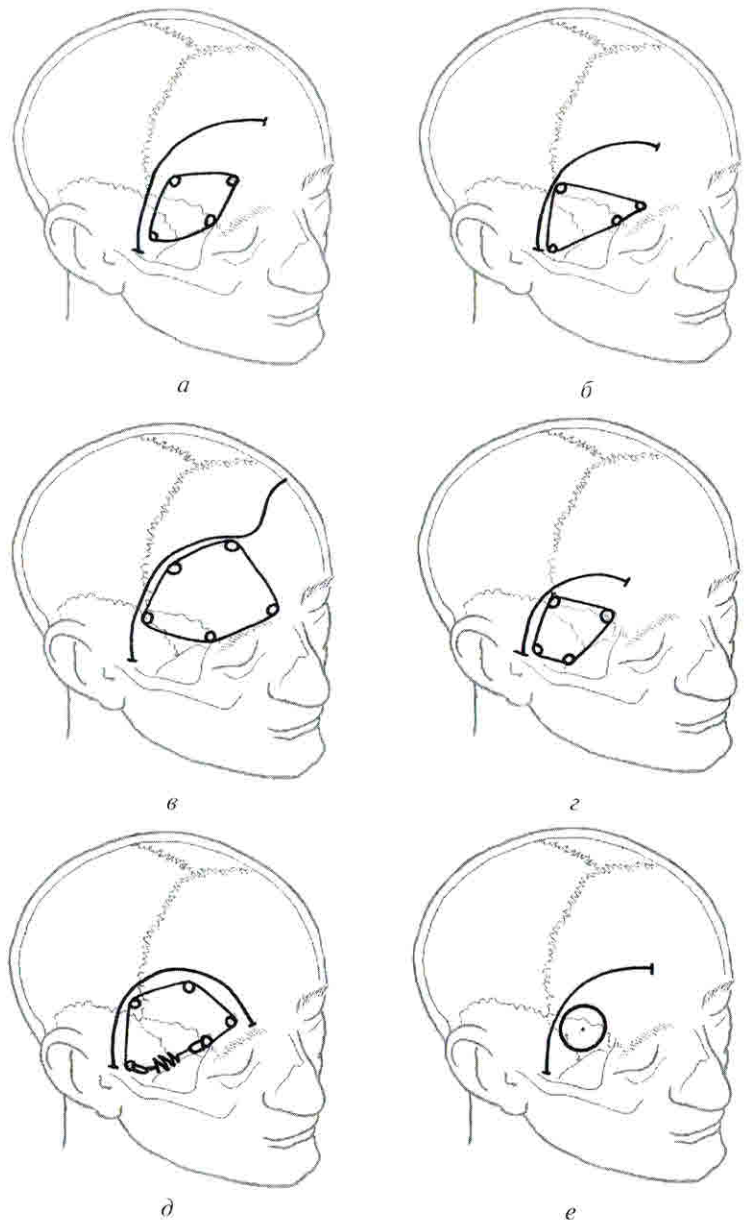


Рис. 9. Варианты краниотомии для фрonto-латерального доступа по:
а — M. G. Yasargil [374]; б — C. G. Drake [86]; в — L. G. Kempe [175];
г — В. П. Сакович и соавт. [22]; д — C. G. Drake [79]; е — K. Sano [292].

от сгустков крови, в том числе и на контралатеральной доступу стороне, уменьшая вероятность развития сосудистого спазма;

- доступ M. G. Yasargil по сравнению с передними межполушарными доступами сокращает расстояние до передней соединительной артерии, по меньшей мере на 1 см [96];
- при использовании птерионального транссильвиеового доступа к аневризмам развилики основной артерии на веществе мозга оказывается значительно меньшее ретракционное давление, уменьшается риск повреждения глазодвигательного и надблокового нервов, достигается значительно лучший обзор области развилики БА и перфорирующих артерий, чем при субтемпоральном подходе [96].

Темпорополярного подхода, предложенного в 1980 г. K. Sano [293] для аневризм развилики БА. При этом подходе после выполнения краниотомии на стороне недоминантного полушария, вскрытия ТМО и препарирования сильвииевой щели осуществляется тщательная коагуляция и пересечение соединительных вен полюса височной доли. Тракция височной доли осуществляется не только в базальном направлении, но и кзади. Свои модификации этого подхода описали R. S. Heros [141] и E. de Oliveira [70]. Авторы отмечают, что методика расширяет угол обзора межножковой цистерны [293], объединяя углы операционного действия транссильвиеового и субтемпорального подходов, позволяет избежать более травматичной тракции височной доли вверх, снижает частоту и выраженность интраоперационного повреждения глазодвигательного нерва [141].

Транстемпорального подхода, применяемого некоторыми нейрохирургами для клипирования аневризм СМА, осложненных внутримозговыми гематомами [142, 246, 271, 278, 322] и при наличии длинного сегмента M_1 [246]. После краниотомии и вскрытия ТМО осуществляют энцефалотомию верхней височной извилины и подход к дистальным ветвям, развилике

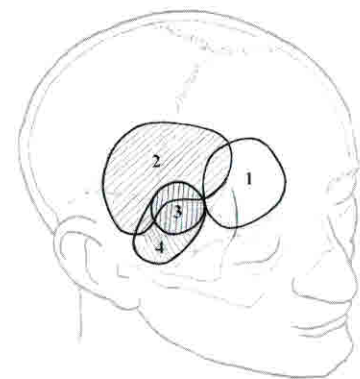


Рис. 10. Области наложения трепанационных отверстий для выполнения фрonto-латерального подхода к основанию черепа: 1 — собственно фрonto-латеральный доступ; 2 — лобно-височный доступ; 3 — сphenоидальный доступ; 2+3 — лобно-височно-сphenоидальный доступ; 3+4 — височно-сphenоидальный доступ.

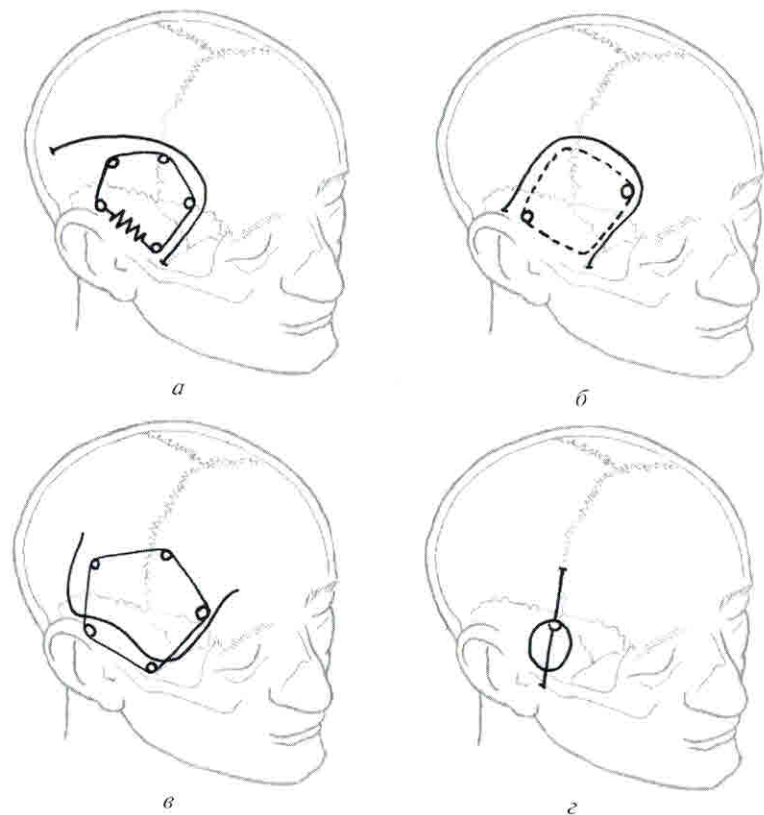


Рис. 11. Варианты темпоральной краниотомии по: а — J. L. Poppen [271]; б — G. Gurdjian, L. M. Thomas [129]; в — J. Suzuki и соавт. [330]; г — C. G. Drake [85].

и основному стволу СМА. По мнению R. S. Hergos, данный доступ имеет несколько преимуществ по сравнению с традиционным транссильвиевым подходом: обеспечивает минимальную тракцию мозга; уменьшает продолжительность манипуляций с главным стволом и перфорантами СМА; дает более полное представление о взаимоотношении аневризмы и окружающих ее сосудов; облегчает клипирование аневризм, исходящих из задней стенки артерии, которые труднее выделять в случае подхода к аневризме традиционным способом.

Недостаток метода: отсутствие проксимального контроля до тех пор, пока не будет выделена шейка аневризмы; кроме того, к аневризмам, купол которых направлен в сторону островка, целесообразно подходить транссильвиевым подходом [142].

Ретроградного транссильвиевого подхода, применяемого некоторыми нейрохирургами при аневризмах сегментов M_2 — M_3 СМА [227, 322]. Особенностью доступа является то, что препарирование латеральной щели начинается в дистальном ее отделе и продолжается в направлении развилки и основного ствола СМА. Преимущества методики те же, что и у транстемпорального доступа: меньшая ретракция мозга, меньший контакт с перфорантами, отходящими от СМА. Недостаток метода: отсутствие визуального контроля над начальным отделом СМА при подходе к аневризме.

Б. Темпоральные доступы

Рядом авторов использовалась височная краниотомия с последующим транссильвиевым, претемпоральным транс-темпоральным или боковым субтемпоральным микрохирургическим подходом для хирургического лечения аневризм ПСА [52, 267], ВСА [271], СМА [271, 335, 328, 331] (рис. 11).

II. Ограниченные переднебоковые доступы

Благодаря совершенствованию микрохирургической техники были разработаны малотравматичные ограниченные переднебоковые доступы, отличительной особенностью которых являются:

- небольшая краниотомия с минимальным обнажением мозга;
- минимальная тракция мозгового вещества, так как подход осуществляется через субарахноидальные цистерны [374].

К таким подходам относятся разработанный M. Brocs и H. Dietz [50] ограниченный фрonto-латеральный доступ к аневризмам ПСА, ВСА, СМА; трефинационный доступ R. H. Shephard [313] к аневризмам СМА. Свои модификации птерионального доступа с трепанационным окном малого размера предложили S. P. Harland и соавт. [135], В. П. Сакович и соавт. [22], S. Czirjak и соавт. [60].

III. Переднебоковые краниобазальные доступы

A. Трансклиivalные доступы

В 1967 г. J. L. Fox описал альтернативный трансортальному трансклиivalному доступу преднебоковой подход к аневризмам БА — субмандибулярный ретрофарингеальный транскли-

Глава II | МИКРОХИРУРГИЧЕСКАЯ АНАТОМИЯ КОНТРАЛАТЕРАЛЬНОГО ПТЕРИОНАЛЬНОГО ДОСТУПА К АНЕВРИЗМАМ ПЕРЕДНЕГО ОТДЕЛА ВИЛЛИЗИЕВА КРУГА

Прежде чем приступить к описанию микрохирургической анатомии контралатерального птерионального доступа, мы считаем необходимым остановиться на некоторых деталях анатомии тех сосудистых и оболочечных структур, знание которых необходимо для успешной контралатеральной хирургии аневризм.

Микрохирургическая анатомия переднего отдела виллизиева круга

К артериям переднего отдела виллизиева круга традиционно относят: внутреннюю сонную артерию (BCA), среднюю мозговую артерию (СМА), передние мозговые и переднюю соединительную артерии (ПМА, ПСА) [194].

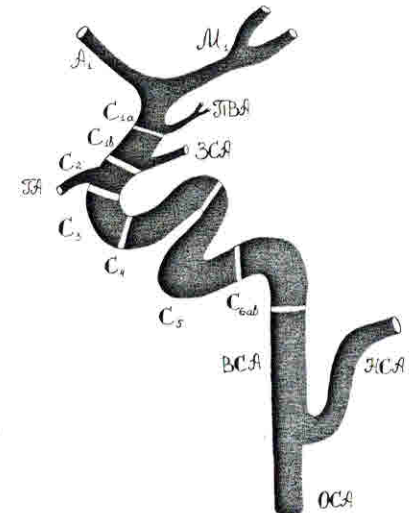
Внутренняя сонная артерия является одним из наиболее постоянных внутричерепных сосудов, варианты ее строения (аплазия, гипоплазия) крайне редки [2, 3].

Авторы, в разное время изучавшие нормальную и патологическую анатомию сосудов головного мозга, выделили в соответствии с особенностями топографии в составе BCA несколько отделов (сегментов), различающихся по своему функциональному значению и характеру встречающейся патологии [92, 106, 119, 106, 136, 257].

В своей работе мы использовали разделение BCA на пять отделов: 1) шейный, 2) каменистый, 3) кавернозный, 4) клиноидный и 5) супраклиноидный.

Шейный отдел BCA простирается от бифуркации общей сонной артерии на внутреннюю и наружную до места вхождения BCA в сонный канал пирамиды височной кости. Каменистый отдел — участок BCA, проходящий в сонном канале пирамиды височной кости и ограниченный дистально местом вхождения BCA в кавернозный синус. Кавернозный отдел — участок BCA, проходящий в кавернозном синусе и оканчивающийся в месте выхода BCA из кавернозного синуса через проксимальное дуральное кольцо в эпидуральное пространство. Далее начинается клиноидный (экстрадуральный, экстракавернозный) отдел BCA, простирающийся от проксимального дурального кольца до места выхода BCA через дистальное

Рис. 18. Сегменты внутренней сонной артерии: ОСА — общая сонная артерия; НСА — наружная сонная артерия; ВСА — внутренняя сонная артерия; ГА — глазная артерия; ЗСА — задняя соединительная артерия; ПВА — передняя ворсинчатая артерия; А₁ — прекоммуникантный сегмент передней мозговой артерии; М₁ — сфеноидальный сегмент средней мозговой артерии; С_{1a} — хориоидальный сегмент супраклиноидного отдела ВСА; С_{1b} — коммуникантный сегмент супраклиноидного отдела ВСА; С₂ — офтальмический сегмент супраклиноидного отдела ВСА; С₃ — клиноидный сегмент клиноидного отдела ВСА; С₄ — горизонтальный сегмент кавернозного отдела ВСА; С₅ — восходящий сегмент кавернозного отдела ВСА; С_{6a} — горизонтальный сегмент петрозального отдела ВСА; С_{6b} — вертикальный сегмент петрозального отдела ВСА.



дуральное кольцо в субдуральное пространство. Затем следует супраклиноидный отдел ВСА, дистальной границей которого является бифуркация ВСА на ПМА и СМА.

Отделы в свою очередь подразделяются на сегменты, нумерация которых начинается от разветвления ВСА (рис. 18). В составе супраклиноидного отдела мы выделяли: хориоидальный — С_{1a}, коммуникантный — С_{1b} и офтальмический — С₂ сегменты. Клиноидный отдел ВСА состоит из одного одноименного сегмента — С₃. В составе кавернозного отдела ВСА выделяют: горизонтальный — С₄, восходящий — С₅ сегменты. Каменистый отдел разделен на горизонтальный — С_{6a} и вертикальный — С_{6b} сегменты. В составе шейного отдела сегменты не выделялись.

Посредством контралатерального птерионального доступа возможен подход к С_{1a}, С_{1b}, С₂, С₃ и начальным отделам С₄ сегмента ВСА. В связи с этим сведения об микрохирургической анатомии каменистого и шейного отделов ВСА нами не приводятся.

Супраклиноидный отдел ВСА является наиболее частым местом расположения внутричерепных аневризм [119]. По данным H. Gibo и соавт. [119], длина супраклиноидного отдела ВСА составляет от 14 до 25 мм (в среднем 19 мм).

От ВСА в супраклиноидном отделе отходят три крупные артерии: глазная артерия (ГА), задняя соединительная артерия

(ЗСА) и передняя ворсинчатая артерия (ПВА). Соответственно основным ветвям отдел разделен на одноименные сегменты.

Хориоидальный сегмент (C_{1a}). Проксимальной границей сегмента является устье передней ворсинчатой артерии, дистально — разветвка ВСА на СМА и ПМА (рис. 19). Длина сегмента — от 2,5 до 10 мм (в среднем 5,6 мм) [119]. От хориоидального сегмента наиболее часто отходят перфорирующие артерии к переднему продырявленному веществу, зрительному тракту, крючку. Их число варьирует от 1 до 9 (в среднем 4).

Основной ветвью сегмента является передняя ворсинчатая артерия. Ее устье располагается в 6% на латеральной поверхности ВСА, в 66% случаев — на заднелатеральной и в 28% — на задней поверхности ВСА.

Расстояние от разветвки ВСА до устья передней ворсинчатой артерии, по данным H. Gibo и соавт. [119], составляет от 2,5 до 10 мм (в среднем 5,6 мм), а по данным J. Lang [194] — от 0,5 до 5,0 мм (в среднем 2,9 мм).

Расстояние от наружного края канала зрительного нерва до устья передней ворсинчатой артерии варьирует от 4 до 18 мм — в среднем 11,4 мм [323].

Диаметр передней ворсинчатой артерии находится в пределах от 0,4 до 1,25 мм — в среднем 0,77 мм [194].

В передней ворсинчатой артерии выделяют цистернальный и плексальный сегменты [274]. Длина цистернального сегмента — от 20 до 34 мм — в среднем 24 мм [274]. От цистернального сегмента отходит от 2 до 10 перфорирующих ветвей — в среднем 6,25 [192, 194]. Эти ветви подходят к зрительному тракту, ножкам мозга, латеральному коленчатому телу, крючку и височной доле; они кровоснабжают зрительную лучистость, бледный шар, средний мозг, зрительный бугор, заднюю часть внутренней капсулы [119, 107, 274].

Коммуникантный сегмент (C_{1b}). Границами сегмента являются проксимально — устье задней соединительной артерии, дистально — устье передней ворсинчатой артерии (рис. 20). Длина коммуникантного сегмента ВСА — от 1,5 до 9,0 мм, в среднем 4,0 мм [119]. В 60—68% случаев от коммуникантного сегмента ВСА не отходят перфорирующие ветви. В 14% случаев имеется 1 ветвь, в 12% — 2, в 6% — 3 ветви, которые исходят из задней стенки ВСА и заканчиваются в зрительном тракте, премамиллярной части III желудочка, хиазме, воронке, переднем и заднем продырявленном веществе [107, 119].

Основной ветвью сегмента C_{1b} является ЗСА. Ее устье располагается в 22% случаев на заднелатеральной поверхности ВСА, в 30% — на задней, в 44% — на заднемедиальной и в 4% случаев — на медиальной поверхности [119].

Устье задней соединительной артерии отходит от ВСА на расстоянии от 6 до 15 мм (в среднем 9,6 мм) от устья глазной

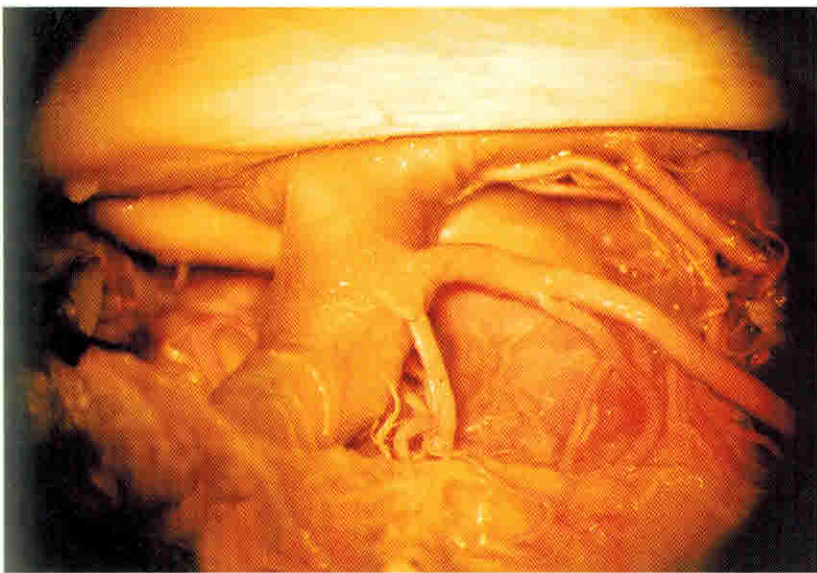


Рис. 19. Хориоидальный сегмент правой ВСА (вид сбоку справа): 1 — правый зрительный нерв; 2 — правая ВСА; 3 — правая ЗСА; 4 — правая ЗМА; 5 — правая ПВА; 6 — правая СМА; 7 — передние таламоперфорирующие артерии; 8 — правая лобная доля; 9 — намет мозжечка.

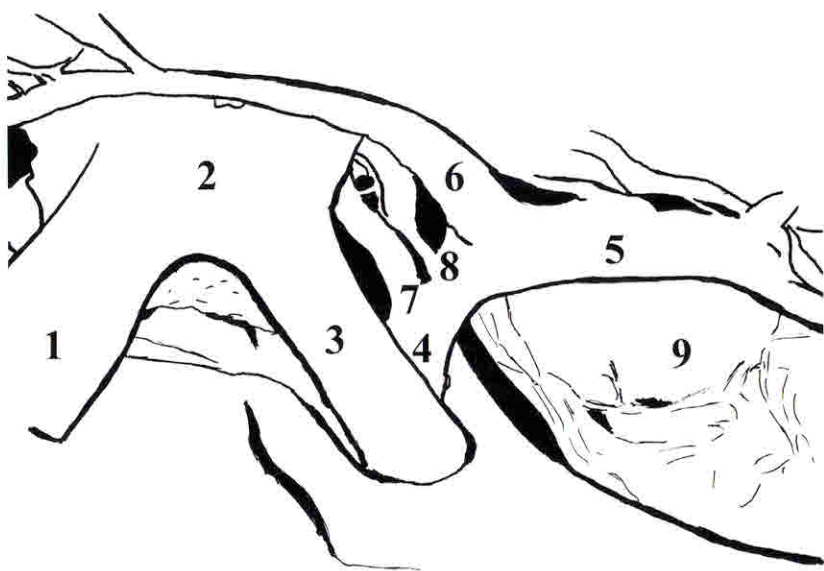
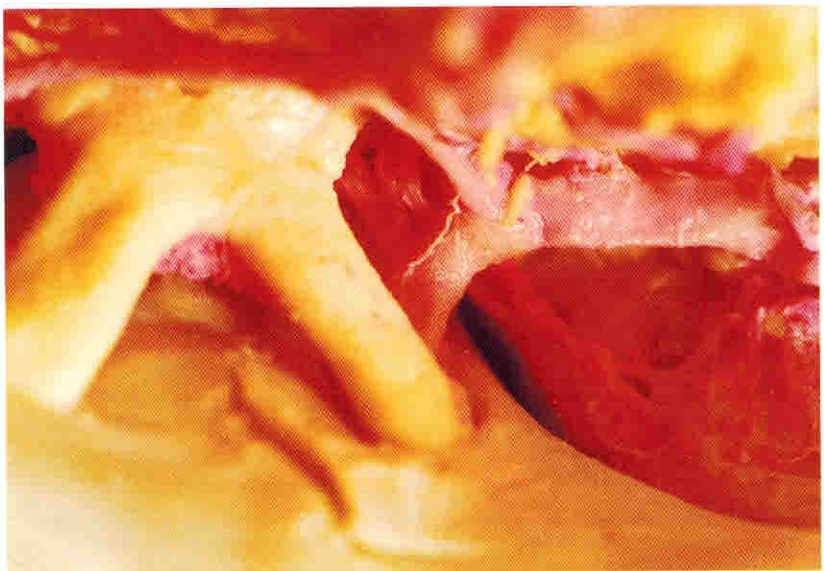


Рис. 20. Коммуникантный сегмент левой ВСА (вид спереди справа): 1 — правый зрительный нерв; 2 — хиазма; 3 — левый зрительный нерв; 4 — левая ВСА; 5 — сегмент M_1 левой СМА; 6 — сегмент A_1 левой ПМА; 7 — левая ЗСА; 8 — левая ПВА; 9 — левая височная доля.

артерии [119]. Устье ЗСА удалено на 1,5 — 7,0 мм (в среднем 3,47 мм) от устья передней ворсинчатой артерии и находится на расстоянии от 5,0 до 13 мм (в среднем 8,23 мм) от развилки ВСА [194]. Расстояние от наружного края канала зрительного нерва до устья ЗСА варьирует от 4 до 19 мм (в среднем 10,5 мм) [323].

Диаметр ЗСА находится в пределах от 0,50 до 3,25 мм (в среднем 1,17 мм), причем артерии "фетального типа" (диаметр от 2,0 до 3,1 мм) встречаются в 12% случаев. В 22% случаев ЗСА имеет больший диаметр, чем диаметр сегмента P_1 ЗМА (так называемая частичная задняя трифуркация ВСА), а в 0,8% ЗСА полностью отсутствует [194].

Длина ЗСА составляет, по данным разных авторов, от 5 до 18 мм, в среднем 12 мм [119]; от 12 до 17 мм, в среднем 13,9 мм [194]; справа — 12,7 (3,2 мм, слева — 12,5 (1,7 мм [258].

От ЗСА отходят перфорирующие артерии (рис. 21): по данным H. Gibo [119], их число составляет от 4 до 14; по данным J. Lang [194] — от 4 до 13. В 64% случаев перфорирующие ветви отходят от латеральной и в 36% от верхней поверхности ЗСА и направляются вверх и назад или латерально [258]. Перфорирующие артерии заканчиваются в убывающем порядке в премамиллярной части дна III желудочка, заднем продырявленном веществе и межножковой ямке, зрительном тракте, после чего достигают зрительного бугра, гипоталамуса, субталамуса и внутренней капсулы [119].

Наиболее постоянной и крупной ветвью ЗСА является премамиллярная (передняя таламоперфорирующая) артерия [119, 258].

Офтальмический сегмент C_2 . Границами сегмента являются проксимально — место выхода ВСА из кавернозного синуса (фиброзное кольцо), дистально — устье задней соединительной артерии (рис. 22). Длина офтальмического сегмента ВСА составляет от 6,0 до 15,0 мм (в среднем 9,6 мм). Диаметр ВСА в месте отхождения глазной артерии — в среднем 5 мм [119].

Глазная артерия в 8% случаев отходит внутрикавернозно, в 3% случаев отсутствует. В 89% глазная артерия отходит в супраклиноидном отделе ВСА [119] тотчас выше верхнего дурального кольца [308], причем в 72% случаев устье глазной артерии располагается на медальной 1/3 верхней поверхности супраклиноидного отдела, в 13% (рис. 23) на средней 1/3 и в 4% на латеральной 1/3 верхней поверхности ВСА (рис. 22) [119]. Имеется описание казуистического случая отхождения глазных артерий от развилки ВСА с двух сторон [133].

Устье глазной артерии по отношению к переднему наклоненному отростку может находиться от 5 мм спереди до 7 мм позади от вершины отростка и от 2 до 10 мм медиальнее отро-

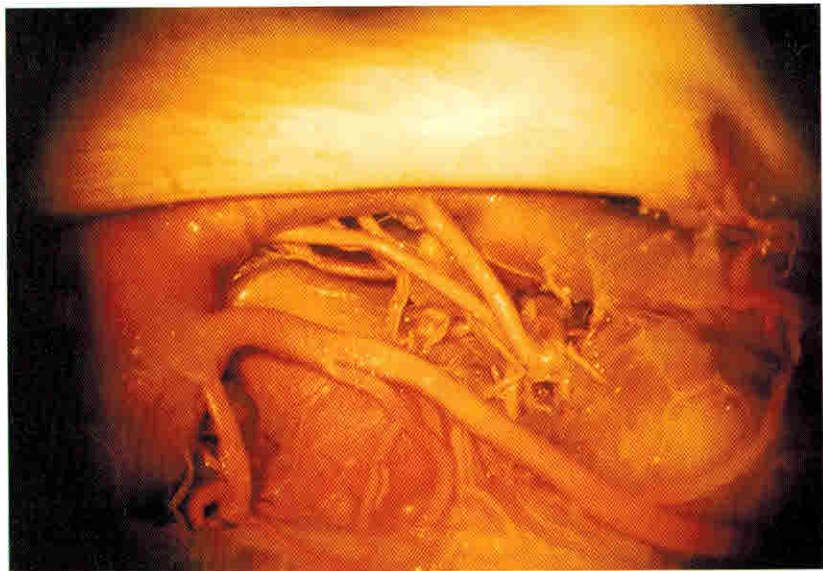


Рис. 21. Передние таламоперфорирующие артерии правой ВСА (вид сбоку справа): 1 — правая ВСА; 2 — правая ЗСА; 3 — правая ЗМА; 4 — правая ПВА; 5 — передние таламоперфорирующие артерии; 6 — намет мозжечка.

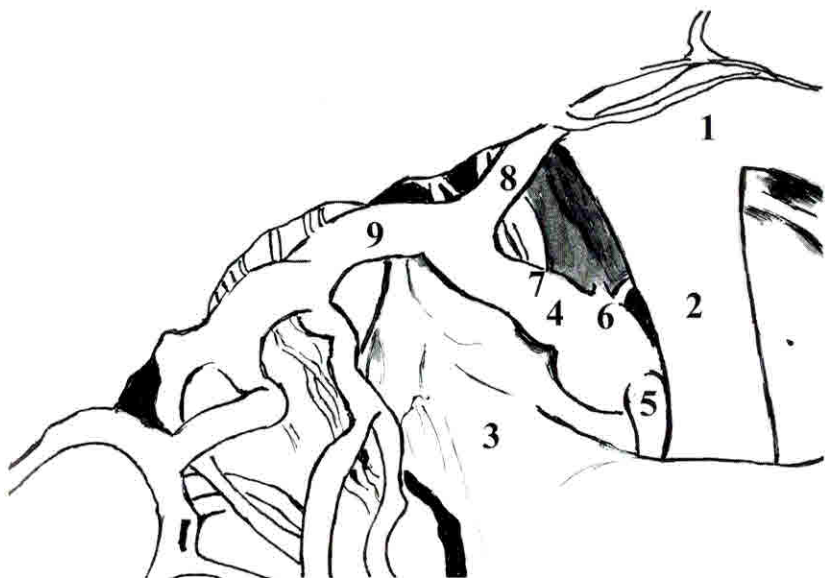
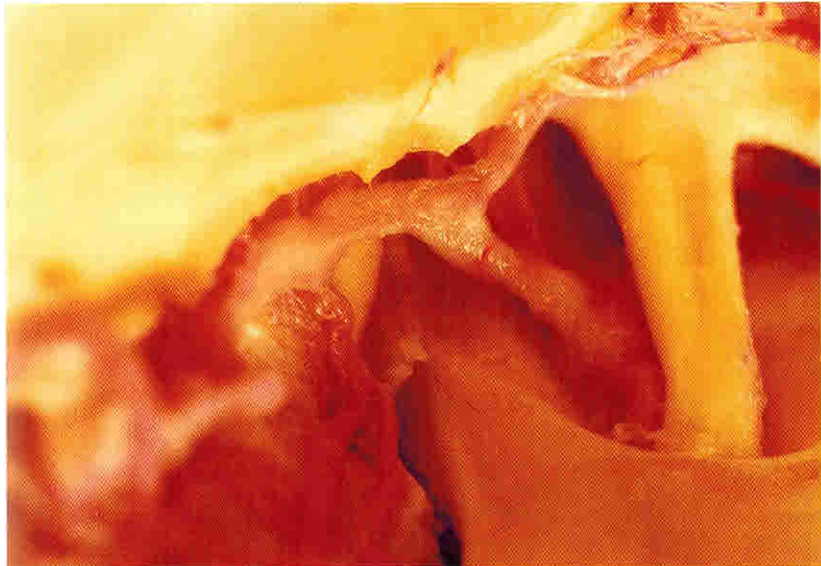


Рис. 22. Офтальмический сегмент правой ВСА (переднебоковой вид справа и сверху): 1 — хиазма; 2 — правый зрительный нерв; 3 — правый передний наклоненный отросток; 4 — правая ВСА; 5 — правая глазная артерия (отходит от латеральной поверхности ВСА); 6 — правая верхняя гипофизарная артерия; 7 — правая ЗСА; 8 — сегмент A_1 правой ПМА; 9 — сегмент M_1 правой СМА.

Микрохирургический подход к клиноидному сегменту контралатеральной ВСА

Выделение клиноидного сегмента контралатеральной ВСА и мобилизация контралатерального зрительного нерва проводятся в следующей последовательности:

1. ТМО рассекается по срединной линии от сphenоидальной площадки в направлении бугорка турецкого седла, далее в латеральном направлении по краю канала зрительного нерва и медиальному краю переднего наклоненного отростка, затем направляется кпереди вдоль малого крыла основной кости контралатеральной стороны. Лоскут ТМО отворачивается кпереди (рис. 64).

2. Рассверливаются задние отделы сphenоидальной площадки и бугорка турецкого седла, резецируются фрагменты верхней и задней стенок основной пазухи. Слизистую оболочку основной пазухи тщательно закрывают коллагеновой губкой и тем самым предохраняют от повреждения (рис. 65).

3. Рассверливается медиальная часть переднего наклоненного отростка противоположной стороны (рис. 66).

4. Резецируется верхняя, медиальная и частично латеральная стенка канала зрительного нерва (рис. 67).

5. Рассверливается нижняя стенка оптического канала, максимально резецируется оптическая подпорка.

6. Рассекается оболочка зрительного нерва на границе перехода медиальной стенки зрительного канала в нижнюю (рис. 68).

7. Осуществляется транспозиция зрительного нерва; визуализируются проксимальное и дистальное дуральное кольцо, клиноидный сегмент контралатеральной ВСА (рис. 69).

Микрохирургический подход к коммуникантному сегменту контралатеральной ВСА

Доступ осуществляется в следующем порядке.

1. Рассекается хиазмальная цистерна над контралатеральным зрительным нервом (см. рис. 59).

2. Продвигаясь над зрительным нервом, рассекается каротидная цистерна медиально и латерально от контралатеральной ВСА (через оптико-каротидный и ретрокаротидный коридоры). Визуализируются контралатеральная ВСА, устье ПВА (см. рис. 60, а). Иногда при достаточной длине супраклиноидного отдела ВСА (ее коммуникантного C_{1b} и офтальмического сегментов C_2), нижняя и медиальная стенка сегмента C_{1b} и устье ЗСА визуализируются через оптико-каротидный треугольник, а латеральная стенка сегмента C_{1b} — через ретрокаротидный промежуток (см. рис. 60, б).

3. Наиболее часто подход к сегменту C_{1b} осуществляется через

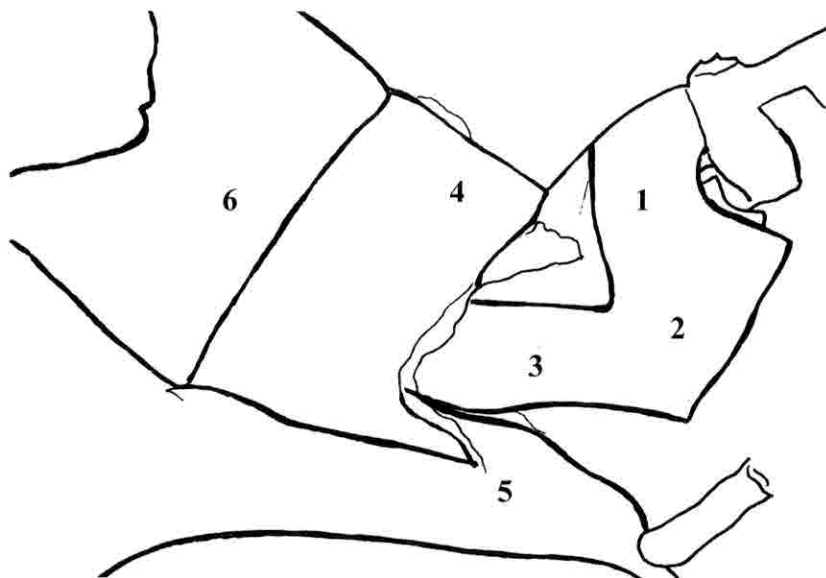


Рис. 64. Правосторонний контралатеральный птериональный доступ. Контралатеральный трансбазальный коридор. Разрез твердой мозговой оболочки: 1 — правый зрительный нерв; 2 — хиазма; 3 — левый зрительный нерв; 4 — сphenоидальная площадка; 5 — основание контралатерального (левого) переднего наклоненного отростка; 6 — отвернутый лоскут твердой мозговой оболочки.

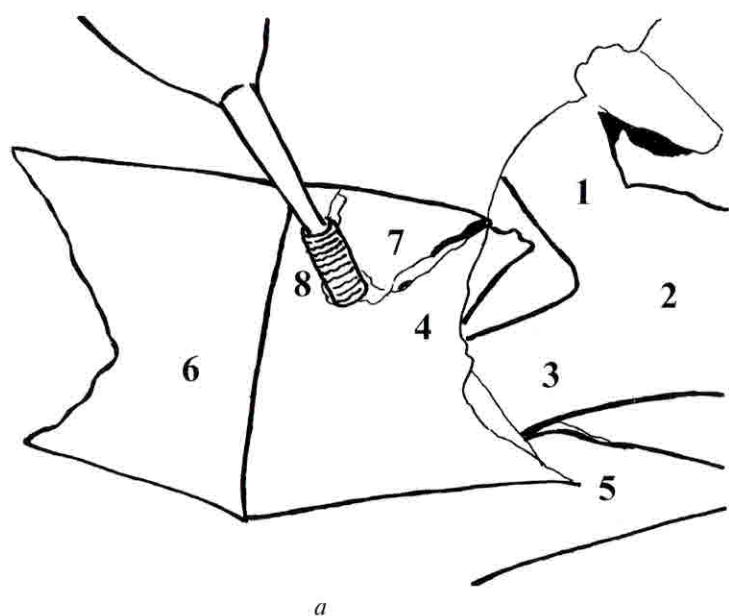
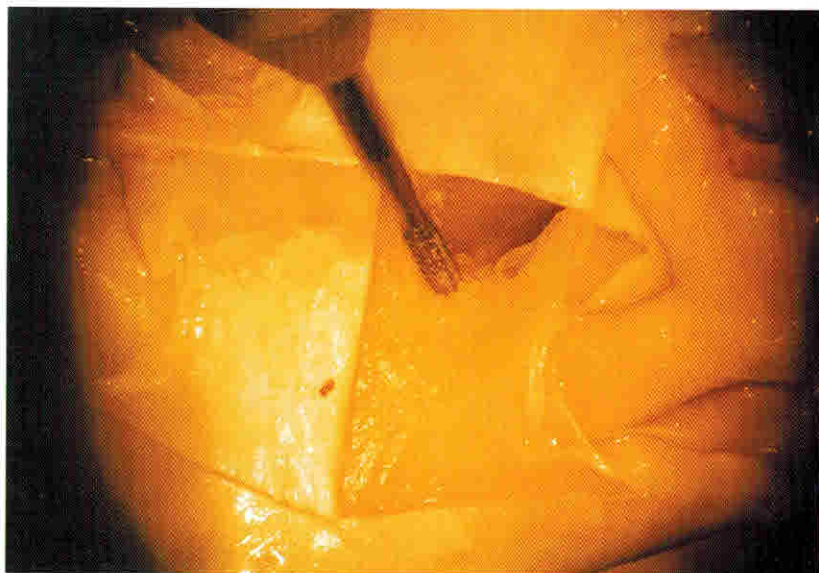


Рис. 65. Правосторонний контраполатеральный птериональный доступ. Контраполатеральный трансбазальный коридор. Рассверливание задних отделов сфеноидальной площадки и бугорка турецкого седла (а): 1 — правый зрительный нерв; 2 — хиазма; 3 — левый зрительный нерв; 4 — сфеноидальная площадка; 5 — основание контраполатерального (левого) переднего наклоненного отростка.

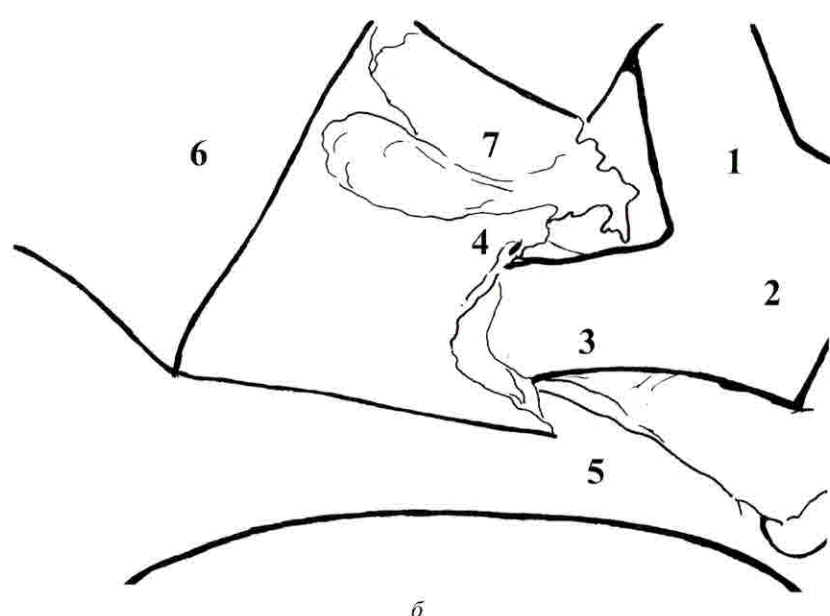
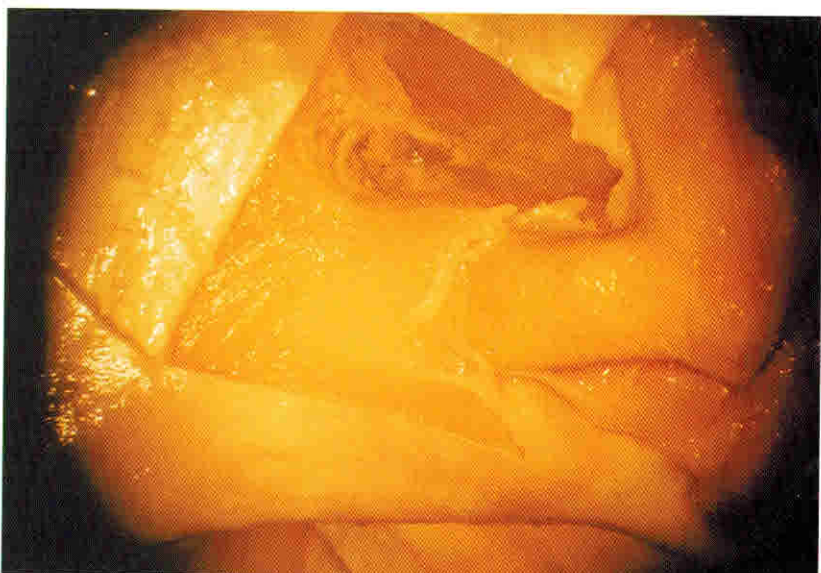


Рис. 65. Продолжение. б: 6 — отвернутый лоскут твердой мозговой оболочки; 7 — полость клиновидной пазухи; 8 — фреза бора.

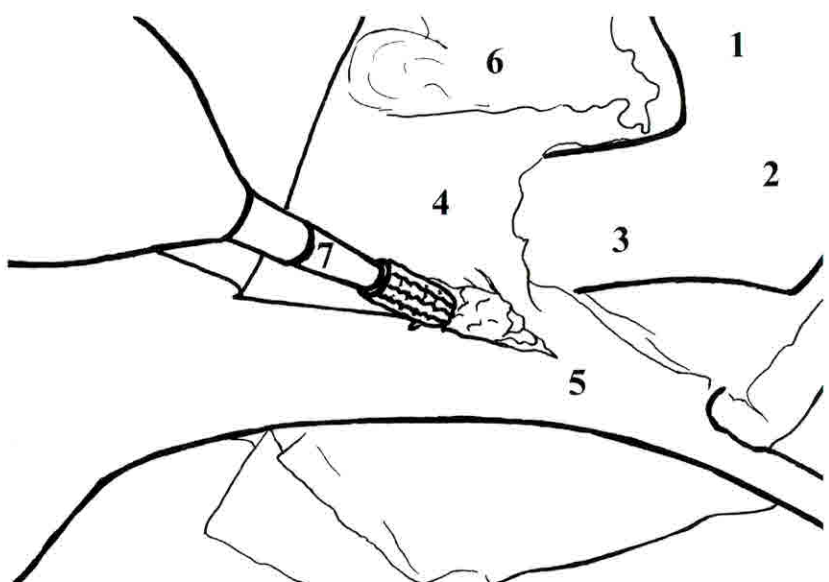
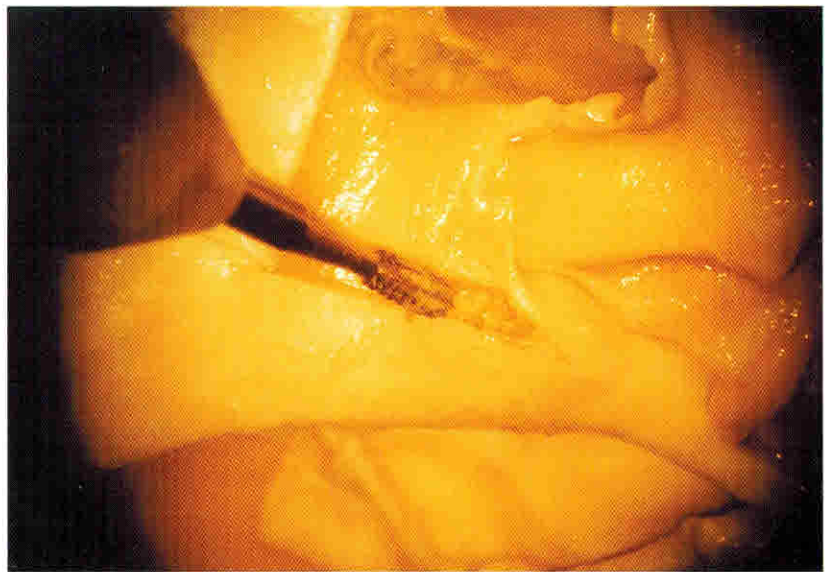


Рис. 66. Правосторонний контраполатеральный птериональный доступ. Контраполатеральный трансбазальный коридор. Рассверливание медиальной части переднего наклоненного отростка: 1 — правый зрительный нерв; 2 — хиазма; 3 — левый зрительный нерв; 4 — крыша канала зрительного нерва; 5 — основание контраполатерального (левого) переднего наклоненного отростка; 6 — полость клиновидной пазухи; 7 — фреза бора.

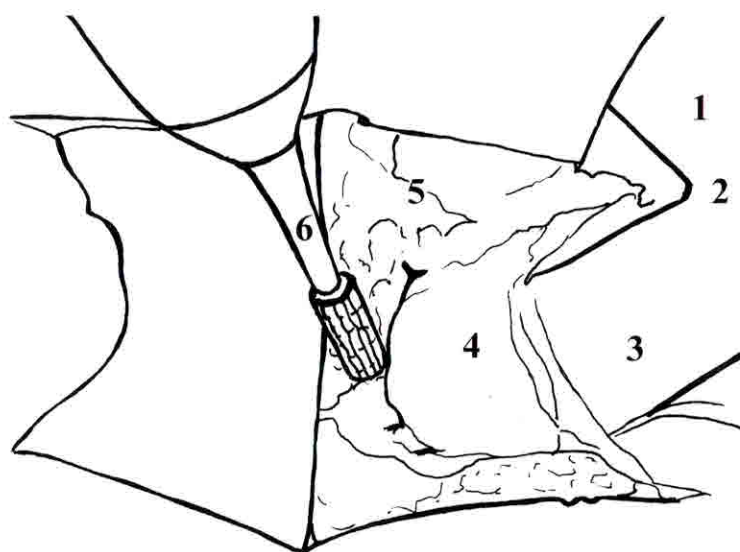


Рис. 67. Правосторонний контраполатеральный птериональный доступ. Контраполатеральный трансбазальный коридор. Резекция стенок канала зрительного нерва: 1 — правый зрительный нерв; 2 — хиазма; 3 — левый зрительный нерв; 4 — крыша канала зрительного нерва; 5 — полость клиновидной пазухи; 6 — фреза бора.

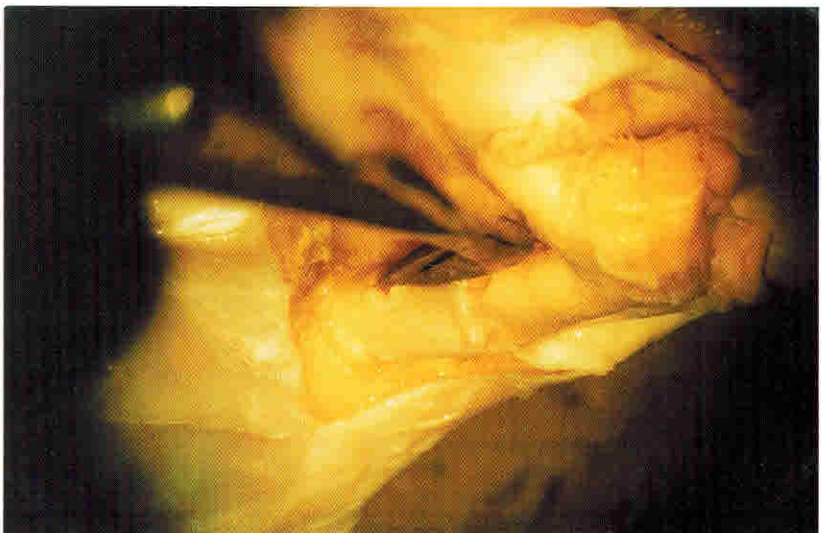


Рис. 68. Правосторонний контралатеральный птериональный доступ. Контралатеральный трансбазальный коридор. Рассечение оболочки контралатерального (левого) зрительного нерва: 1 — правый зрительный нерв; 2 — хиазма; 3 — интракраниальная часть левого зрительного нерва; 4 — интраканаловая часть левого зрительного нерва; 5 — микроножницы.

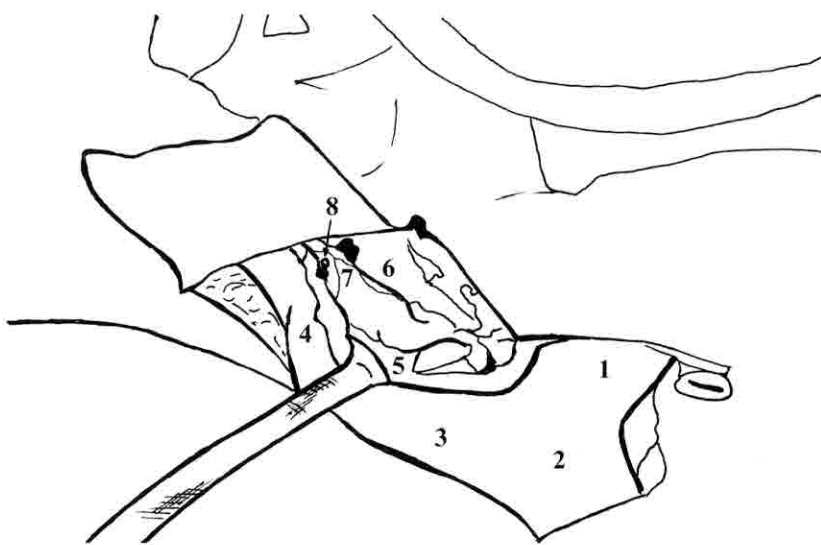


Рис. 69. Правосторонний контралатеральный птериональный доступ. Контралатеральный трансбазальный коридор. Визуализация клиноидного сегмента контралатеральной (левой) ВСА: 1 — правый зрительный нерв; 2 — хиазма; 3 — интракраниальная часть левого зрительного нерва; 4 — интраканаловая часть левого зрительного нерва; 5 — офтальмический сегмент C_2 левой ВСА; 6 — клиноидный сегмент C_3 левой ВСА; 7 — дистальное дуральное кольцо; 8 — устье глазной артерии.

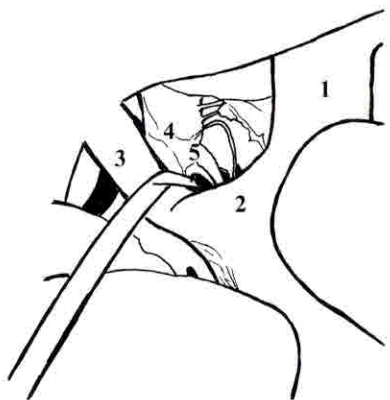
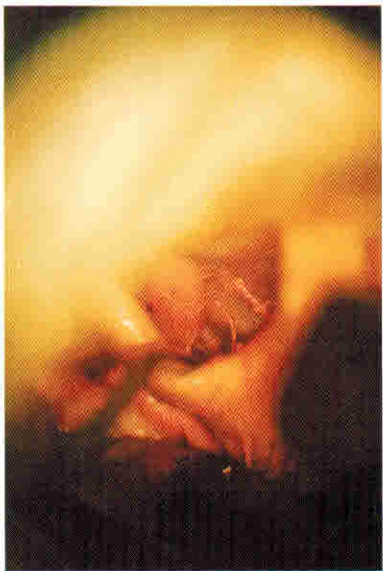


Рис. 70. Правосторонний контраплатеральный птериональный доступ. Визуализация контраплатеральной (левой) ЗСА в интероптическом промежутке: 1 — правый зрительный нерв; 2 — хиазма; 3 — левый (контраплатеральный) зрительный нерв; 4 — левая (контраплатеральная) ВСА; 5 — устье левой ЗСА.

интероптический коридор: рассекаются арахноидальные трабекулы хиазмальной цистерны (см. рис. 61), визуализируется гипофизарная ножка (медиально) и сегмент C_2 (латерально), идентифицируются устье глазной артерии, верхняя гипофизарная артерия. Далее выделяются верхняя, медиальная и нижняя стенки сегмента C_{1b} контраплатеральной ВСА, устье ЗСА (рис. 70).

4. При малом размере интероптического промежутка рассекается мембранозная часть канала зрительного нерва (см. рис. 63), а при необходимости резецируются структуры основания черепа через трансбазальный коридор и осуществляется мобилизация контраплатерального зрительного нерва (см. рис. 64–69).

Микрохирургический подход к хориоидальному сегменту контраплатеральной ВСА

Доступ осуществляется в следующем порядке.

1. Рассекается хиазмальная цистерна над контраплатеральным зрительным нервом (см. рис. 59).

2. Через интероптический коридор рассекаются арахноидальные трабекулы хиазмальной цистерны, визуализируются гипофизарная ножка (медиально) и сегмент C_2 (латерально), устье глазной артерии, верхняя гипофизарная артерия. Далее выделяются верхняя, медиальная и нижняя стенки сегмента C_{1b} контраплатеральной ВСА, визуализируются устье ЗСА (см. рис. 61, 70). В редких случаях малого размера сегмента C_{1b} через интероптический коридор возможна визуализация начальных участков хориоидального сегмента и устья ПВА.

3. Через ретрокаротидный коридор осуществляется рассечение каротидной цистерны и визуализация латеральной стенки сегмента C_{1a} контраплатеральной ВСА (рис. 71).

4. Через оптико-каротидный треугольник вскрываются каротидная цистерна, латеральные отделы межножковой цистерны и начальные отделы круральной цистерны. Визуализируются верхняя, медиальная и нижняя стенки сегмента C_{1a} контраплатеральной ВСА, устье ПВА (рис. 72).

Микрохирургический подход к развилке контраплатеральной ВСА

1. Дополнительно рассекается хиазмальная цистерна над контраплатеральным зрительным нервом (см. рис. 59).

2. Через интероптический коридор визуализируются гипофизарная ножка, сегменты C_2 и C_{1b} контраплатеральной ВСА, устье глазной артерии, верхняя гипофизарная артерия, устье ЗСА (рис. 62, 70).

3. Через ретрокаротидный и оптико-каротидный коридоры осуществляется рассечение каротидной цистерны и визуализация сегмента C_{1a} контраплатеральной ВСА и устье ПВА (см. рис. 71, 72).

4. Рассекается цистерна терминальной пластинки, визуализируются сегмент A_1 контраплатеральной ПМА, артерия Гейблера (рис. 73).

5. Рассекается цистерна латеральной щели противоположной стороны, идентифицируется сегмент M_1 контраплатеральной СМА (рис. 74).

6. Выделяется терминальный участок контраплатеральной ВСА (рис. 75), идентифицируются передние перфорирующие артерии и начальный сегмент базальной вены Розенталя.

Микрохирургический подход к развилке контраплатеральной СМА

1–8. Определяется доступ к развилке контраплатеральной ВСА.